



БИООРГАНИЧЕСКАЯ ХИМИЯ

mom 11 * № 5 * 1985

УДК 577.175.6.088.52:548.737

МОЛЕКУЛЯРНАЯ И КРИСТАЛЛИЧЕСКАЯ СТРУКТУРА ПРЕГН-5-ЕН-3 β -ОЛ-20-ОН-[16 α ,17 α -d]-2',2'- -ДИМЕТИЛОКСАТИОЛАНА И -ДИОКСАЛАНА

*Линдеман С. Б., Аитипин М. Ю., Стручков Ю. Т.,
Турута А. М.*., Камерницкий А. В.**

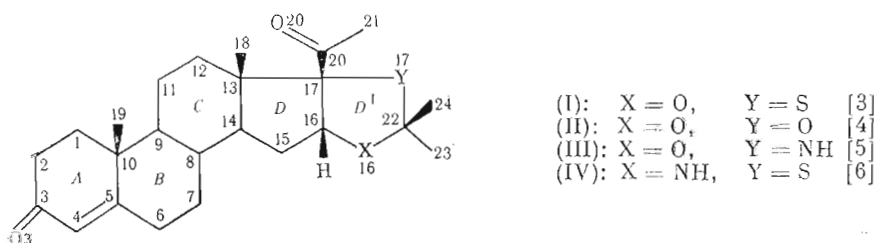
Институт элементоорганических соединений им. А. Н. Несмеянова

Академии наук СССР, Москва:

* Институт органической химии им. Н. Д. Зелинского Академии наук СССР, Москва

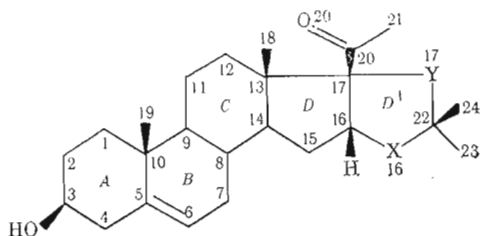
Проведено рентгеноструктурное исследование прегн-5-ен-3 β -ол-20-он-[16 α ,17 α -d]-2',2'-диметилоксатиолана и -диоксалана, представителей серии Δ^5 -3 β -оксианалогов производных прогестерона с 16 α ,17 α -*цис*-конденсированным гетероциклом D'. Анализ структурных данных, полученных ранее для прегн-4-ен-3,20-дион-[16 α ,17 α -d]-2',2'-диметилоксатиолана, -диоксалана, -оксазолидина, -тиазолидина и их Δ^5 -3 β -оксианалогов, показал, что геометрические параметры их молекул не коррелируют с проявляемой гестагенной активностью. Наряду с этим рентгеноструктурные и расчетные данные свидетельствуют о возможности конформационных изменений в данных молекулах. По-видимому, биологическая активность в исследованном ряду соединений определяется геометрическими и энергетическими характеристиками продуктивного конформера, отличного от найденных в кристалле.

Для выявления связи между пространственным строением области цикла D молекул — аналогов прогестерона и их гестагенной активностью [1, 2] ранее нами было проведено рентгеноструктурное исследование прегн-4-ен-3,20-диона-[16 α ,17 α -d]-2',2'-диметилоксасиолана (I) и его диоксаланового (II), оксазолидинового (III) и тиазолидинового (IV) аналогов [3–6]:



Не меньший интерес представляет вопрос о связи гестагенной активности стероидов со строением циклов *A* и *B*. Известно, например, что такой активностью обладают лишь стероиды Δ^4 -3-кетостроения, а Δ^5 -3 β -оксиирегнаны, как правило, лишены ее. Остается неизвестным, обусловлено ли это непосредственно изменением строения циклов *A* и *B* или передачей этих изменений по каркасу молекулы на область цикла *D*. До сих пор не вполне ясна и роль тонких особенностей конформации цикла *D* и 17 β -ацетильной группы, поскольку обнаруженные в кристаллах соединений (I)–(IV) небольшие различия молекулярной геометрии не удалось непосредственно связать с количественными различиями гестагенной активности этих соединений. Возможно, что в этом случае определяющим фактором является конформационная гибкость цикла *D*, необходимая для подстройки молекулы к рецептору.

Нами было предпринято рентгеноструктурное исследование Δ^5 -3 β -оксианалогов (I)–(IV) – соединений (V)–(VIII) с идентичным строением области цикла D



(V): $X = O$, $Y = S$
 (VI): $X = O$, $Y = O$
 (VII): $X = O$, $Y = NH$ [7]
 (VIII): $X = NH$, $Y = S$ [6]

В кристалле соединения (VIII) были обнаружены два конформера, в одном из которых конформация циклов D и D' совпадала с найденной в кристалле соединения (IV), а в другом резко отличалась [6]. Подобные конформационные различия наблюдаются также и для соединений (III) и (VII) [7], однако эти различия менее выражены. Результаты рентгеноструктурного исследования двух остальных представителей этого ряда, (V) и (VI), изложены в настоящей статье.

Длины связей и валентные углы в молекулах (V) и (VI) (табл. 1 и 2) совпадают со средними значениями для Δ^5 - pregnанов [8], а также с найденными в аналогичных молекулах (I) и (II) [3, 4], за исключением расхождений, обусловленных различиями химической структуры соединений (V), (VI) и (I), (II). Конформация циклов A, B и C (торсионные углы приведены в табл. 3) также обычна для молекул этого ряда: фактически неискаженное 8 β ,9 α -полукресло для цикла B ($\Delta C_2^{8,9} = 0,7$ и $2,3^\circ$) и искаженное (с преобладанием зеркальной симметрии) кресло для циклов A и C ($\Delta C_s^3 = 2,4$ и $1,8^\circ$, $\Delta C_s^9 = 2,5$ и $4,2^\circ$).

Наибольший интерес представляет сопоставление конформации циклов D, D' и 17 β -ацетильной группы в молекулах (V) и (VI) и их аналогах (I) и (II). Конформация цикла D в молекулах (I) и (V) представляет собой 14 α -конверт, причем в молекуле (V) в отличие от молекулы (I) искажения фактически отсутствуют ($\Delta C_s^{14} = 0,9$ и $7,7^\circ$ соответственно).

Таблица 1
Длины связей d в структурах (V) и (VI)

Связь	$d, \text{\AA}$		Связь	$d, \text{\AA}$	
	(V)	(VI)		(V)	(VI)
O3–C3	1,440(9)	1,435(5)	C8–C14	1,514(9)	1,508(5)
O3–HO	0,69(8)	0,95(3)	C9–C10	1,554(9)	1,526(5)
O16–C16	1,438(8)	1,432(5)	C9–C11	1,536(9)	1,535(5)
O16–C22	1,425(9)	1,406(6)	C10–C19	1,530(10)	1,537(6)
O20–C20	1,497(10)	1,486(7)	C11–C12	1,524(10)	1,530(6)
S–C17	1,834(7)	—	C12–C13	1,539(10)	1,526(6)
S–C22	1,870(8)	—	C13–C14	1,553(9)	1,540(5)
O17–C17	—	1,426(5)	C13–C17	1,566(9)	1,532(5)
O17–C22	—	1,434(5)	C13–C18	1,537(10)	1,533(6)
C1–C2	1,531(10)	1,528(6)	C14–C15	1,527(10)	1,528(6)
C1–C10	1,523(10)	1,539(7)	C15–C16	1,505(10)	1,507(6)
C2–C3	1,499(12)	1,496(6)	C16–C17	1,598(10)	1,542(6)
C3–C4	1,518(10)	1,490(7)	C17–C20	1,510(11)	1,517(5)
C4–C5	1,509(10)	1,489(5)	C20–C21	1,500(12)	1,494(7)
C5–C6	1,329(10)	1,326(6)	C22–C23	1,486(13)	1,480(6)
C5–C10	1,543(10)	1,517(5)	C22–C24	1,513(13)	1,516(7)
C6–C7	1,507(10)	1,482(5)	O_s –C _s [*]	1,423(13)	—
C7–C8	1,512(9)	1,530(5)	O_s –H _s [*]	1,08(7)	—
C8–C9	1,556(9)	1,548(6)			

* Длины связей в сольватной молекуле метанола.

Валентные углы ω в структурах (V) и (VI)

Угол	ω , град		Угол		Угол	ω , град		ω , град
	(V)	(VI)	(V)	(VI)		(V)	(VI)	
C3—O3—HO	119(2)	106(2)	C1—C10—C9	108,0(5)	S—C17—C16	103,7(4)	—	103,6(3)
C16—O16—C22	112,6(6)	109,4(3)	C1—C10—C19	111,2(6)	O17—C17—C16	—	—	107,4(5)
C17—S—C22	92,5(3)	—	C5—C10—C9	109,5(5)	S—C17—C20	—	—	109,5(3)
C17—O17—C22	—	108,3(3)	C5—C10—C19	107,6(5)	O17—C17—C20	—	—	105,5(3)
C2—C1—C10	114,5(6)	115,3(4)	C9—C10—C19	112,2(5)	C13—C17—C16	104,4(5)	—	113,3(3)
C1—C2—C3	110,7(6)	109,4(4)	C9—C11—C12	114,4(6)	C13—C17—C20	116,0(6)	—	113,6(3)
C3—C2—C3	108,9(6)	108,5(3)	C11—C12—C13	110,4(6)	C16—C17—C20	111,6(6)	—	114,6(3)
03—C3—C2	112,4(6)	112,5(3)	C12—C13—C14	106,5(5)	O20—C20—C47	123,5(8)	—	122,4(4)
03—C3—C4	109,6(6)	110,3(4)	C12—C13—C17	116,7(6)	O20—C20—C21	117,7(8)	—	120,0(4)
C2—C3—C4	—	—	C12—C13—C18	112,3(6)	C17—C20—C21	118,8(7)	—	117,9(4)
C3—C4—C5	111,3(6)	111,7(4)	C14—C13—C17	101,0(5)	S—C22—O16	104,8(5)	—	—
C4—C5—C6	120,5(6)	120,5(4)	C14—C13—C18	112,0(6)	O17—C22—O16	104,4(3)	—	104,4(3)
C4—C5—C10	115,5(6)	116,7(3)	C17—C13—C18	111,9(3)	S—C22—C23	114,7(6)	—	114,7(6)
C6—C5—C10	124,0(6)	122,8(4)	C8—C14—C13	107,9(6)	O17—C22—C23	—	—	112,3(4)
C5—C6—C7	123,9(6)	124,7(4)	C8—C14—C15	115,2(5)	S—C22—C24	—	—	—
C6—C7—C8	113,8(6)	113,4(3)	C13—C14—C15	119,5(5)	O17—C22—C24	108,2(6)	—	107,1(4)
C7—C8—C9	110,0(5)	109,0(3)	C13—C14—C15	102,8(5)	O17—C22—C24	—	—	—
C7—C8—C14	110,9(5)	111,0(3)	C14—C15—C16	103,0(5)	O16—C22—C23	113,6(7)	—	109,9(4)
C9—C8—C14	108,9(5)	109,8(3)	O16—C16—C45	107,6(6)	O16—C22—C24	107,6(7)	—	108,9(4)
C8—C9—C10	113,3(5)	112,1(3)	O16—C16—C17	110,5(5)	C23—C22—C24	113,3(7)	—	113,7(4)
C8—C9—C11	111,1(5)	111,6(3)	C15—C16—C47	106,2(5)	C _s —O _s —H _s *	115(4)	—	—
C10—C9—C11	113,4(5)	113,9(3)	S—C17—C13	113,5(5)	—	—	—	—
C1—C10—C5	108,2(6)	107,9(3)	O17—C17—C13	109,7(3)	—	—	—	—

* Валентный угол в сольватной молекуле метанола.

Эндоциклические торсионные углы ϕ в структурах (V) и (VI)

Цикл	Угол	ϕ , град		Цикл	Угол	ϕ , град		
		(V)	(VI)			(V)	(VI)	
A	C1—C2—C3—C4	58,6(8)	58,6(5)	C	C11—C12—C13—C14	57,0(7)	56,7(4)	
	C2—C3—C4—C5	-57,1(8)	-57,8(5)		C12—C13—C14—C8	-60,7(8)	-62,1(4)	
	C3—C4—C5—C10	53,7(8)	53,2(5)		C13—C14—C8—C9	57,4(7)	58,3(4)	
	C4—C5—C10—C1	-48,5(8)	-46,2(5)		C14—C8—C9—C11	-50,1(7)	-48,4(4)	
	C5—C10—C1—C2	49,7(8)	47,6(4)					
	C10—C1—C2—C3	-57,3(8)	-55,8(5)		D	C13—C14—C15—C16	-46,2(8)	-40,8(4)
B	C5—C6—C7—C8	14,4(8)	15,1(4)	D'	C14—C15—C16—C17	28,0(7)	21,4(4)	
	C6—C7—C8—C9	-42,5(7)	-43,3(4)		C15—C16—C17—C13	-0,1(7)	5,9(4)	
	C7—C8—C9—C10	59,2(7)	60,7(4)		C16—C17—C13—C14	-27,2(7)	-30,4(4)	
	C8—C9—C10—C5	-43,5(7)	-46,2(4)		C17—C13—C14—C15	45,3(8)	44,1(4)	
	C9—C10—C5—C6	14,2(8)	16,5(4)		D'	C16—C17—Y17—C22	-19,3(7)	-23,1(4)
	C10—C5—C6—C7	0,5(8)	-0,7(4)		C17—Y17—C22—O16	36,9(7)	32,0(4)	
C	C8—C9—C11—C12	52,4(7)	48,0(4)	D'	Y17—C22—O16—C16	-45,9(6)	-27,9(4)	
	C9—C11—C12—C13	-56,8(7)	-53,4(4)		C22—O16—C16—C17	33,3(8)	13,7(4)	
					O16—C16—C17—Y17	-2,7(5)	5,8(3)	

* Для соединения (V) Y=S, для соединения (VI)—Y=O.

В молекулах (VI) и (II) конформация цикла D одинакова (14α -конверт, $\Delta C_s^{14} = 6,8^\circ$). Цикл D' в (V) и (I) имеет конформацию С22 β -конверта (выход атома C22 из средней плоскости остальных четырех атомов цикла 0,667(9) и 0,625 Å), хотя различие соответственных торсионных углов достигает $7,7^\circ$. В циклах D и D' молекул (VI) и (II) различие торсионных углов не столь велико (до 3°), но из-за его систематического характера конформация цикла D' в молекуле (VI) оказывается промежуточной между С22 β -конвертом и O17 α , С22 β -полукреслом $\Delta(C_s^{22} = 7,3^\circ, \Delta C_2^{O_{17},C_{22}} = 6,5^\circ)$ в отличие от слабо искаженного С22 β -конверта молекулы (II) ($\Delta C_s^{22} = 3,7^\circ, \Delta C_2^{O_{17},C_{22}} = 11,6^\circ$). Ориентация 17 β -ацетильной группы в молекулах (V) и (VI) фактически совпадает с найденной в молекулах (I) и (II): торсионный угол $\tau = [C16—C17—C20—O20]$ составляет $-4,6(8)$ и $-5,9(3)^\circ$ в молекулах (V) и (I) и $-29,0(5)$ и $-26,6(5)^\circ$ в молекулах (VI) и (II).

Анализ упаковки молекул (V) и (VI) показывает, что, хотя в их кристаллах в отличие от кристаллов (I) и (II) и образуются водородные связи, они слабо затрагивают область циклов D и D' этих молекул. Так, в кристалле соединения (V) образуются цепи ... (V) ... MeOH ... (V) ... MeOH ... вдоль оси x с участием только OH-группы молекул (V) и сольватных молекул метанола (расстояния O...O равны 2,787(8) и 2,721(9) Å для связей, в которых донором H являются OH-группы молекул (V) и MeOH соответственно). В кристалле соединения (VI) атом O16 цикла D' участвует в образовании H-связи с OH-группой соседней молекулы (цепочки молекул направлены вдоль оси y); однако эта связь, по-видимому, недостаточно сильная (расстояния O...O и O...H составляют 3,040(4) и 2,21(3) Å соответственно, а угол O—H...O равен $145(3)^\circ$), чтобы повлиять на конформацию цикла. Таким образом, обнаруженное отличие конформации циклов D и D' в молекулах (V) и (VI) по сравнению с молекулами (I) и (II) оказалось сравнительно небольшим скорее всего из-за незначительности различий их окружения в кристалле. О исключительности внутримолекулярной индукции стереохимических изменений в циклах A и B на циклы D и D' свидетельствует то, что конформация цикла C, связывающего эти части молекул, в структурах (I)–(VIII) не претерпевает существенных изменений. Кроме того, конформационные изменения

Таблица 4

Координаты ($\times 10^4$, для Н $\times 10^3$) и тепловые параметры $B_{\text{исо}}$ (\AA^2)
 (для атомов Н приводятся значения $B_{\text{изо}}$) атомов структуры (V)

АТОМ	<i>x</i>	<i>y</i>	<i>z</i>	$B_{\text{исо}}$	АТОМ	<i>x</i>	<i>y</i>	<i>z</i>	$B_{\text{исо}}$
S	7857(3)	5087(2)	7488(1)	5,37(5)	C43	8823(9)		4667(5)	6474(3)
O3	9542(8)	-1959(5)	5517(3)	6,1(2)	C44	7173(9)		3935(5)	6360(2)
O16	4698(7)	5162(4)	7074(2)	5,5(2)	C15	5652(9)		4727(6)	6249(2)
O20	7939(9)	7374(4)	6744(2)	6,6(2)	C16	5833(10)		5519(6)	6668(2)
C1	10721(11)	6151(3)	610(5)	4,5(2)	C17	7925(10)		5506(5)	6830(3)
C2	11011(11)	-459(6)	5890(3)	5,0(2)	C18	9405(11)		5251(6)	6004(3)
C3	9219(12)	-944(6)	5749(3)	4,8(2)	C19	10750(10)		10750(10)	5330(3)
C4	8187(10)	-192(6)	5407(3)	4,6(2)	C20	8742(11)		8742(11)	6606(7)
C5	7915(11)	877(5)	5651(2)	3,7(2)	C21	10669(13)		10669(13)	6819(3)
C6	6261(10)	1297(6)	5687(3)	3,9(2)	C22	5401(14)		6752(7)	6904(4)
C7	5872(9)	2364(5)	5919(2)	3,6(2)	C23	5170(12)		5454(7)	7552(3)
C8	7548(9)	3043(5)	5993(2)	3,2(2)	C24	4548(16)		4548(16)	6599(7)
C9	9140(9)	2353(5)	6198(2)	3,2(2)	H0	877(10)		4727(9)	7671(3)
C10	9660(9)	1419(5)	5845(2)	3,5(2)	O _s	11427(8)		7938(4)	9,1(4)
C11	10771(9)	3046(5)	6349(3)	4,3(2)	C _s	9669(15)		218(7)	542(3)
C12	10304(10)	3953(6)	6705(3)	4,4(2)	H _s	1085(9)		-218(7)	4598(2)
									-202(5)
									499(3)

* АТОМЫ СОЛЬВАТНОЙ МОЛЕКУЛЫ МЕТАНОЛА.

в цикле D' , как правило, больше, чем в цикле D , хотя в случае внутримолекулярной индукции должно было бы наблюдаться обратное. Незначительность внутримолекулярной индукции конформационных изменений установлена и нашими конформационными расчетами прогестерона и его аналогов методом молекулярной механики [6].

Исследование ряда гестагенных препаратов на основе соединений (I)–(IV) и их Δ^5 -3 β -оксианалогов (V)–(VIII) позволяет сделать некоторые выводы о конформационных характеристиках области циклов D и D' в этих молекулах.

1. Наиболее гибким участком молекул (I)–(VIII) оказывается гетероцикл D' , предпочтительная конформация которого ($C22\beta$ -конверт) достаточно легко искается под действием окружения до конформации $Y17\alpha$, $C22\beta$ -полукресла (в (VI) и (VII)), что соответствует небольшому (до $+10^\circ$) скручиванию вокруг связи $C16$ – $C17$. Действительно, по данным расчета методом молекулярной механики [6], эти конформации относятся к одному, достаточно пологому минимуму потенциальной энергии, т. е. наблюдаемые изменения происходят в рамках одного конформера. Для цикла D' расчет предсказывает существование второго минимума потенциальной энергии, соответствующего скручиванию вокруг связи $C16$ – $C17$ на $+30^\circ$. Действительно, в кристалле соединения (VIII) обнаружено существование двух конформеров, соответствующих разным минимумам потенциальной энергии [6].

2. Конформация цикла D диктуется циклом D' (точнее, скручиванием вокруг связи $C16$ – $C17$) и мало зависит от строения и конформации циклов A и B . В большинстве исследованных соединений конформация цикла D близка к 14α -конверту и ее искажения не заходят дальше формы, промежуточной между 14α -конвертом и $13\beta,14\alpha$ -полукреслом. И только при максимальном скручивании вокруг связи $C16$ – $C17$ в молекуле (VIII) конформация цикла D становится более характерной для производных прогестерона, а именно промежуточной между 13β -конвертом и $13\beta,14\alpha$ -полукреслом.

3. Ориентация 17β -ацетильной группы в молекулах (I), (V) и (IV), (VIII) с серосодержащим гетероциклом D' близка к скошенной ($\tau \approx -25^\circ$), а в остальных изученных нами молекулах – к заслоненной ($\tau \approx -5^\circ$) относительно связи $C17$ – $C20$ (заслонение связей $C20$ – $O20$ и $C16$ – $C17$). Однако это заметное различие не находит прямого проявления в биологической активности. В соответствии с результатами расчета потенциальной кривой вращения 17β -ацетильной группы вокруг связи $C17$ – $C20$ [6] значения угла τ лишь незначительно изменяются при переходе от Δ^4 -к Δ^5 -производным (различие не превышает $4,5^\circ$). По тем же данным, изменение конформации цикла D' должно существенно влиять на положение и относительную энергию возможных ротамеров. И хотя ориентация ацетильной группы в молекулах (I)–(VIII) соответствует только одному из них, в соединении (VIII) для конформера с максимальным скручиванием вокруг связи $C16$ – $C17$ действительно обнаружено изменение угла τ на $\sim 10^\circ$ относительно значений, найденных в соединении (IV) и другом конформере соединения (VIII).

Таким образом, нами показано, что в исследованных стероидах-аналогах прогестерона циклы D и D' обладают заметной конформационной гибкостью. Поэтому к поиску корреляции структура – биологическая активность на основании кристаллоструктурных данных о геометрии этих циклов следует относиться с большой осторожностью, особенно в случае небольших различий их геометрии в кристалле. Напротив, ориентация 17β -ацетильной группы менее подвержена влиянию поля кристалла, однако эта ориентация не коррелирует с проявляемой гестагенной активностью.

Поскольку получено экспериментальное подтверждение изменения конформации в данном ряду соединений, мы предполагаем, что гестагенная активность соединений (I)–(IV) определяется не строением наблюдаемого в кристалле (и в данном ряду соединений, по-видимому, наиболее энергетически выгодного) конформера, а геометрическими и энергети-

Таблица 5

Координаты ($\times 10^4$, для Н $\times 10^3$) и тепловые параметры $B_{\text{изо}}$ (\AA^2)
 (для атомов Н приводятся $B_{\text{изо}}$) атомов структуры (VI)

АТОМ	x	y	$B_{\text{изо}}$ \AA^2	АТОМ		x	y	z	$B_{\text{изо}}$ \AA^2
				z	$B_{\text{изо}}$ \AA^2				
O3	551(2)	5000	4146(2)	6,8(1)	C12	5572(3)	3447(7)	8543(3)	3,6(1)
O16	8513(2)	217(5)	7712(2)	4,9(1)	C13	6044(3)	1192(7)	8482(2)	3,1(1)
O17	7876(2)	2790(5)	8589(2)	4,0(1)	C14	5957(3)	665(7)	7417(2)	2,9(1)
O20	7672(3)	-1335(6)	10165(2)	6,8(1)	C15	6691(3)	-1323(7)	7412(3)	3,8(1)
C1	2613(3)	5189(8)	6373(3)	4,6(1)	C16	7677(3)	-845(7)	8159(3)	4,0(1)
C2	1508(3)	5532(9)	5715(3)	5,1(2)	C17	7298(3)	914(7)	8813(3)	3,6(1)
C3	1580(3)	4584(8)	4762(3)	4,8(2)	C18	5399(3)	-420(8)	9000(3)	4,5(1)
C4	1842(3)	2253(8)	4854(3)	4,7(2)	C19	2224(3)	1648(8)	7061(3)	4,6(2)
C5	2902(3)	1853(7)	5508(2)	3,4(1)	C20	7590(3)	441(9)	9866(3)	4,9(2)
C6	3695(3)	647(8)	5235(3)	3,9(1)	C21	7711(4)	2296(11)	10537(3)	6,9(2)
C7	4773(3)	133(7)	5333(3)	3,8(1)	C22	8839(3)	2137(9)	8193(3)	4,5(2)
C8	4781(3)	625(7)	6886(2)	3,0(1)	C23	9817(4)	1744(11)	8931(3)	7,0(2)
C9	4247(3)	2823(7)	6979(2)	3,0(1)	C24	9038(4)	3824(10)	7472(4)	7,7(2)
C10	3006(3)	2845(7)	6490(3)	3,5(1)	H0	65(3)	452(6)	3553(2)	5,0
C11	4377(3)	3591(7)	8014(3)	4,0(1)					

ческими характеристиками какого-то другого возможного конформера, реализующегося при образовании комплекса с рецептором.

Экспериментальная часть

Кристаллы соединения (V) в виде сольваты с одной молекулой метанола удалось получить только при очень медленном испарении растворителя. Кристаллы ромбические a 7,3463(7), b 12,592(1), c 26,686(2) Å, V 2468,5(6) Å³, пространственная группа $P2_1\bar{2}1$, M_r 436,6, $d_{выч}$ 1,179 г/см³, Z 4 ($C_{24}H_{36}O_3S \cdot MeOH$). Параметры ячейки и интенсивности отражений измерены при 20°С на четырехкружном автоматическом дифрактометре Hilger — Watts ($\lambda CuK\alpha$, графитовый монохроматор, $\theta/2\theta$ -сканирование, θ_{\max} 66°).

Монокристалл соединения (VI) получен методом зонной плавки (т. пл. 198—202°С, скорость роста 0,5 мм/ч) в тонкостенном ширексовом капилляре толщиной 0,5 мм. Кристаллы моноклинные, a 12,137(7), b 6,238(3), c 14,25(1) Å, β 98,90(5)°, V 1066(2) Å³, пространственная группа $P2_1$, M_r 388,6, $d_{выч}$ 1,214 г/см³, Z 2 ($C_{24}H_{36}O_4$). Параметры ячейки и интенсивности отражений измерены при 20°С на четырехкружном автоматическом дифрактометре Syntex $P2_1$ ($\lambda MoK\alpha$, графитовый монохроматор, $\theta/2\theta$ -сканирование, θ_{\max} 24°).

Обе структуры расшифрованы прямым методом (программа MULTAN) и уточнены методом наименьших квадратов (МНК) в анизотропном приближении для неводородных атомов. Атомы Н гидроксильных групп локализованы в разностном синтезе Фурье, и их позиционные параметры уточнены МНК. Положения остальных атомов Н рассчитывали геометрически (атомы Н метильных групп заданы в скрещенной конформации относительно связей С—С или С—О) после каждого цикла МНК, но не уточняли. Всем атомам водорода присвоено фиксированное значение температурного параметра $B_{изо}$ 5 Å². Окончательные значения факторов расходимости: R 0,050 (R_w 0,054) по 1488 отражениям с $I \geq 2\sigma$ для структуры (V) и R 0,045 (R_w 0,032) по 1407 отражениям с $I \geq 2,5\sigma$ для структуры (VI).

Координаты и температурные параметры атомов представлены в табл. 4 и 5. Все расчеты проведены на ЭВМ Eclipse S/200 по программам INEXTL [9].

ЛИТЕРАТУРА

1. Войшвилю П. Е., Волькенштейн Ю. Б., Ганина И. В., Грицина Г. И., Истомина З. И., Камерницкий А. В., Кареев А. Д., Леонтьев И. Г., Поселнов А. И., Терехина А. И., Турута А. М. Хим.-фармацевт. журн., 1976, т. 10, № 6, с. 41—46.
2. Терехина А. И., Камерницкий А. В., Турута А. М., Фадеева Т. М., Антилова Л. А., Грицина Г. И. Хим.-фармацевт. журн., 1982, т. 16, № 2, с. 180—183.
3. Lindeman S. V., Shklover V. E., Struchkov Yu. T., Turuta A. M., Kamernitzky A. V. Cryst. Struct. Commun., 1982, v. 11, № 4, p. 387—392.
4. Lindeman S. V., Shklover V. E., Struchkov Yu. T., Turuta A. M., Kamernitzky A. V. Cryst. Struct. Commun., 1982, v. 11, № 4, p. 381—386.
5. Lindeman S. V., Shklover V. E., Struchkov Yu. T., Turuta A. M., Kamernitzky A. V. Cryst. Struct. Commun., 1982, v. 11, № 4, p. 393—397.
6. Lindeman S. V., Timofeeva T. V., Shklover V. E., Struchkov Yu. T., Turuta A. M., Kamernitzky A. V. Steroids, 1985, in press.
7. Линдеман С. В., Шкловер В. Е., Стручков Ю. Т., Весела И. В., Камерницкий А. В. Биоорганская химия, 1983, т. 9, № 10, с. 1412—1415.
8. Duax W. L., Norton D. A. Atlas of steroid structure. N. Y.: IFI/Plenum, 1975, v. 1.
9. Герр Р. Г., Яновский А. И., Стручков Ю. Т. Кристаллография, 1983, т. 28, № 5, с. 1029—1030.

Поступила в редакцию
1.X.1984

THE MOLECULAR AND CRYSTAL STRUCTURE OF PREGN-5-ENE-3 β -OL-20-ONE-[16 α ,17 α -d]-2',2'-DIMETHYLOXATHIOLANE AND -DIOXALANE

LINDEMAN S. V., ANTIPIN M. Yu., STRUCHKOV Yu. T., TURUTA A. M.*,
KAMERNITZKY A. V.*

A. N. Nesmeyanov Institute of Organoelement Compounds;

** N. D. Zelinski Institute of Organic Chemistry, Academy of Sciences
of the USSR, Moscow*

An X-ray study has been carried out of pregn-5-en-3 β -ol-20-on-[16 α , 17 α -d]-2', 2'-dimethyloxathiolane (I) and -dioxalane (II), two Δ^5 -3 β -hydroxyanalalogues of progesterone derivatives with a 16, 17-cis-fused D'-heterocycle. The analysis of structural data for pregn-4-en-3, 20-dion-[16 α , 17 α -d]-2', 2'-dimethyloxathiolane, -dioxalane, -oxazolidine, -thiazolidine, and their Δ^5 -3 β -hydroxyanalalogues (including I and II) has revealed no correlation between geometrical parameters of the molecules and their gestagenic activity. Conformational calculations and X-ray data indicate, however, that some significant conformational variations in the above molecules are possible. One can therefore assume that a conformer differing from that found in crystal may be efficient in binding with receptor and hence the gestagenic activity should be determined by geometrical and energetic characteristics of that conformer.